

Øving 2 Løsningsforslag

ESDA1

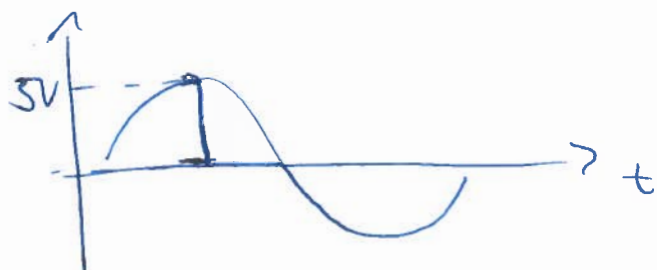
i) a) $V_1 = \frac{R_i}{R_s + R_i} V_s$

$$V_2 = \frac{R_L}{R_L + R_o} A V_1 = \frac{R_L R_i}{(R_L + R_o)(R_s + R_i)} A V_s$$

$$= \frac{1k\Omega \cdot 100k\Omega}{(1k\Omega + 200\Omega)(33\Omega + 100k\Omega)} 10^4 \cdot 0,6mA$$

$$\approx 5V$$

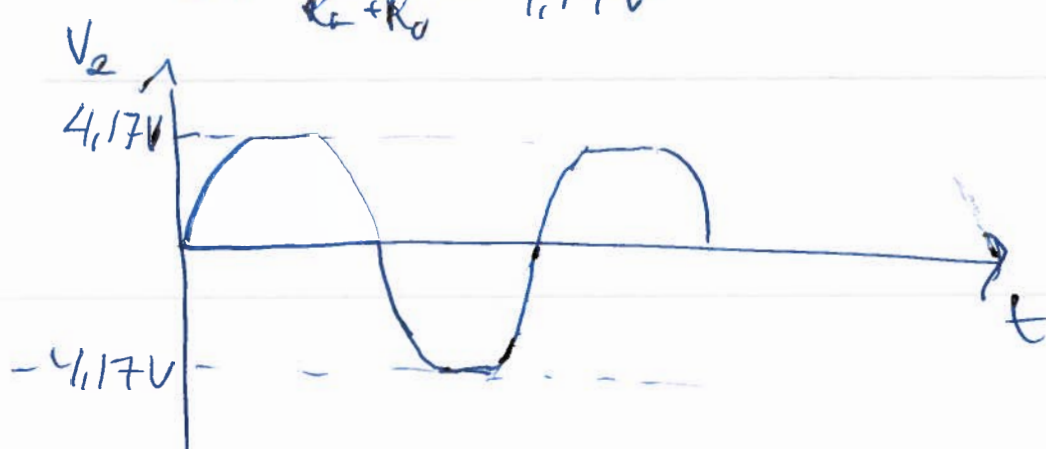
Amplituden til utgangssignalet
er 5V



b) $A V_1 = \frac{R_i}{R_s + R_i} A V_s = \frac{100k\Omega}{33\Omega + 100k\Omega} \cdot 10^4 \cdot 0,6mA$

$$\approx 6V$$

$$6V \cdot \frac{R_L}{R_L + R_o} = 4,17V$$



c) Utspenningens er klippet.

For å fikse det kan man gjøre en av disse tingene:

- Senke V_S
- øke R_S
- Senke R_i
- Bruke en forsterker med mindre A eller annen karakteristikk for $A V_A$

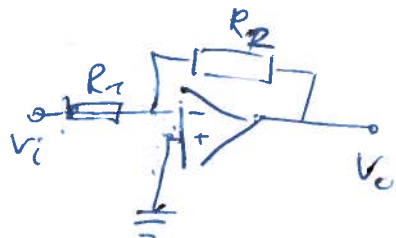
Hvilke av disse er mest nøyaktig å bruke kommer an på systemet.

② a) Kretsen er en buffer.

V_o følger V_i

Fordelen med denne kretsen er at inputimpedansen er veldig høy og trækker dermed minimalt med strøm fra kilden. Utimpedansen er veldig lav og driver dermed lasten som en perfekt spenningskilde.

b) Kretsen er en inverterende forsterker.

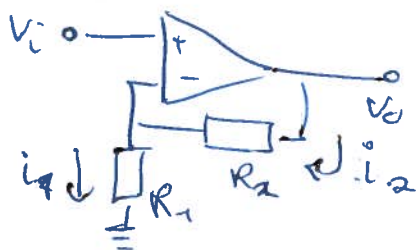


$$V_- = V_+ = 0, i_- = i_+ = 0$$

$$i = \frac{V_i - V_-}{R_1} = \frac{V_- - V_o}{R_2} \quad V_- = 0$$

$$\frac{V_i}{R_1} = -\frac{V_o}{R_2} \quad \underline{\underline{\frac{V_o}{V_i} = -\frac{R_2}{R_1}}}$$

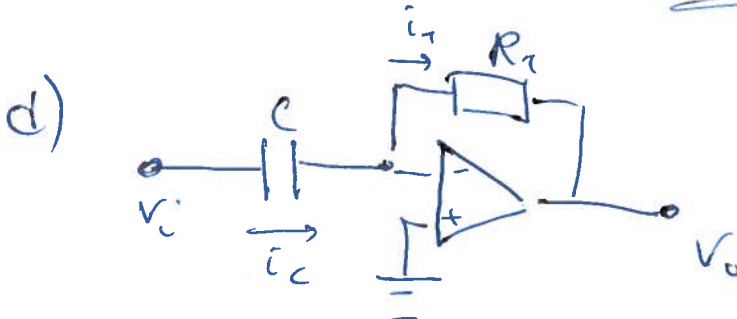
c) Kreten er en ikke-inverterende forsterker



$$i_1 = \frac{V_i}{R_1}, \quad i_2 = \frac{V_o}{R_2 + R_1} = \frac{V_i}{R_1} = \frac{V_i}{R_1}$$

$$i_+ = i_- = 0 \Rightarrow i_1 = i_2$$

$$\frac{V_o}{R_2 + R_1} = \frac{V_i}{R_1} \Rightarrow \frac{V_o}{V_i} = \underline{\underline{\frac{R_1 + R_2}{R_1}}}$$



$$V_- = V_T = 0 \quad i_- = i_o$$

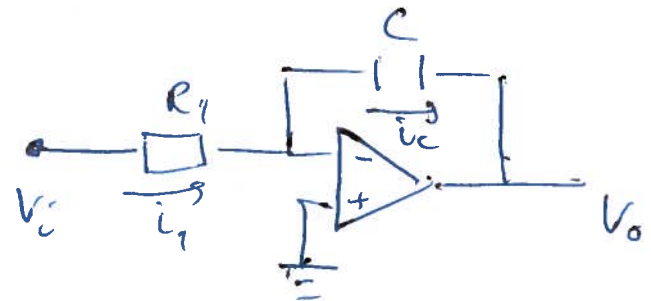
$$i_c = i_1$$

$$V_c = V_i - V_- = V_i$$

$$i_c = C \frac{dV_i}{dt} = \frac{V_- - V_o}{R_1} = -\frac{V_o}{R_1}$$

$$V_o = -RC \frac{dV_i}{dt}$$

e)



$$\dot{i}_1 = \frac{V_i}{R_i}$$

$$i_c = -C \frac{dV_o}{dt} \quad \dot{i}_1 = i_c$$

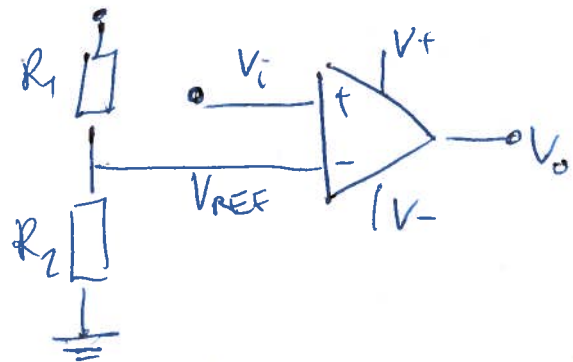
$$\frac{V_i}{R} = -C \frac{dV_o}{dt}$$

$$dV_o = -\frac{1}{RC} V_i dt$$

$$\int dV_o = -\frac{1}{RC} \int V_i dt$$

$$\underline{\underline{V_o = -\frac{1}{RC} \int V_i dt}}$$

f)



Når V_i er over V_{REF} vil outputen gå i retning til den høyeste spenningen den kan produsere, V_f . Motsatt når V_i går under V_{REF} vil outputen gå mot den laveste, V_- . V_{REF} er bestemt ~~av~~ av motstandene R_1 og R_2 .

③ a) Forskjellen fra figur 4 er at her er jord koblet på den inverterende inngangen.

Ved å sammenlikne med kretsen i figur 8 ser vi at denne kretsen er en komparator, hvor jord er referansepenningen.

b) v_2 vil være et fiktionsignal som oscillerer mellom V og $-V_0$.

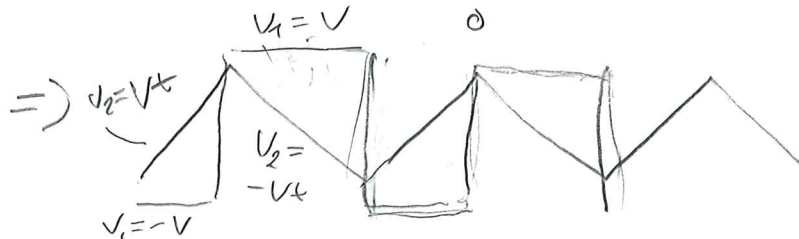
$$v_2 = V \text{ når } v_1 > 0 \quad \text{og} \quad v_2 = -V \\ \text{når } v_1 < 0.$$

c) v_1 er symmetrisk rundt 0 V, dvs at v_1 oscillerer mellom V og $-V$.

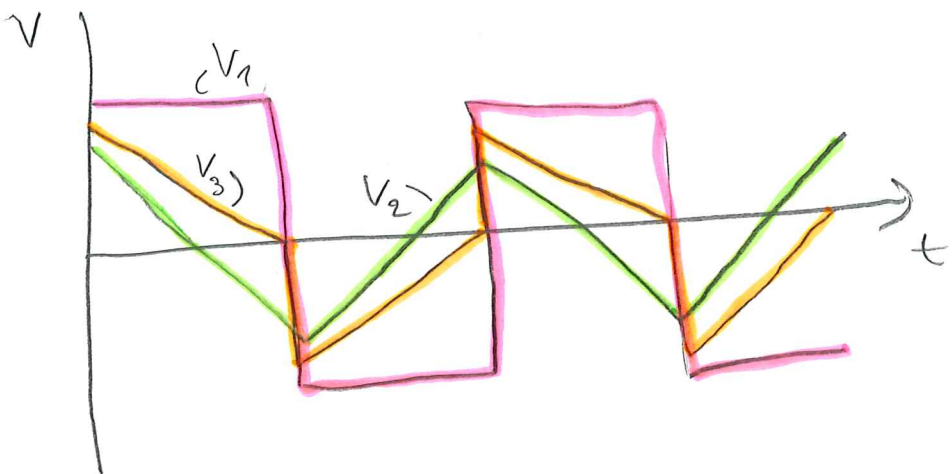
$$v_2 \text{ er gitt av } -\frac{1}{RC} \int_0^t v_1 dt$$

$$-\int_0^t V dt = -Vt$$

$$-\int_0^t -V dt = Vt$$



c)



V_1 er et firkantsignal.

V_2 vil være et trekantsignal som synker når V_1 er høy og stiger når V_1 er lav.

V_3 er resultatet av en opplettingsdeling mellom V_1 og V_2 og må derfor alltid ligge mellom de to verdiene.

Når $V_3 = 0$ vil V_1 skifte mellom $V_{og} - V$.

$$e) v_2(t) = -\frac{1}{C} \int v_1 dt = -\frac{1}{C} \int -V dt \\ = \frac{1}{C} V t + C$$

$$v_2(0) = -A' = C$$

$$v_2(t) = -A' + \frac{V}{C} t$$

f) Siden forsyningsopningene er symmetrisk kan vi argumentere for at v_2 også er symmetrisk.
Derfor er

$$v_2(T_f) = A'$$

$$v_2(T_f) = -A' + \frac{V}{C} T_f$$

$$A' = -A' + \frac{V}{C} T_f$$

$$T_f = \frac{2A'}{V} C$$

g) Det går ingen strøm inn i den ikke-inverterende inngangen. Derfor kan vi bruke vanlig spenningsdeling. Spanningen $V_1 - V_2$ blir fordelt på R_1 og R_2 . Derned får vi

$$V_3(t) = V_2(t) + \frac{R_2}{R_1 + R_2} (V_1(t) - V_2(t))$$

h) Ved T_f er $V_3(T_f) = 0$ fordi det er ved det punktet komparatoren switcher fra $-V$ til V . Begynne også med V .

$$V_2(T_f) = A'$$

$$V_1(T_f) = -V$$

$$0 = A' + \frac{R_1}{R_1 + R_2} (-V - A')$$

$$(V + A') \frac{R_1}{R_1 + R_2} = A'$$

$$\frac{R_1}{R_1 + R_2} V + \frac{R_1}{R_1 + R_2} A' = A'$$

$$\frac{R_1}{R_1 + R_2} V = \left(1 - \frac{R_1}{R_1 + R_2}\right) A'$$

$$\frac{R_1}{R_1 + R_2} V = \frac{R_1 + R_2 - R_1}{R_1 + R_2} A'$$

$$\frac{R_1}{R_2} V = A'$$

$$i) T_f = \frac{2A'}{V} \tau = 2 \frac{R_1}{R_2} \frac{V}{V} \tau = 2 \frac{R_1}{R_2} \tau$$

j) V_1 skal i løpet av T_b stige fra $-V$ til V , altså $2V$ i absoluttverdi.
 Man kan tenke at $2V$ er strekningen
 SR er hastigheten og T_b er tid.
 Da vet vi fra typiske at
 $\text{tid} = \frac{\text{strekning}}{\text{fart}}$

$$\Rightarrow T_b = \frac{2V}{SR}$$

: Vi kan også se på enhetene

$$\frac{\frac{[V]}{[V]}}{\frac{[\mu s]}{[\mu s]}} = [\mu s] \quad \text{som stemmer.}$$

Typisk stigerate for LF353P
 er $13 \frac{V}{\mu s}$

k) v_1 er en rett stigende linje fra $-V$ til V

$$v_1(0) = -V$$

$$v_1(T_s) = V$$

$$v_1(t) = -V + \frac{2V}{T_s}t$$

$$\begin{aligned} v_2(t) &= -\frac{1}{\tau} \int v_1(t) dt \\ &= -\frac{1}{\tau} \int V - \frac{2V}{T_s}t dt \\ &= \frac{1}{\tau} \left(Vt - \frac{V}{T_s}t^2 \right) + C \end{aligned}$$

$$v_2(0) = A' = C$$

$$v_2(t) = A' + \frac{V}{\tau} \left(t - \frac{t^2}{T_s} \right)$$

9) Deriverer og setter lik null for
& finne toppunktet

$$V_2'(t) = \frac{V}{\tau} - 2 \frac{t}{T_s} \frac{V}{\tau} = 0$$

$$1 - 2 \frac{t}{T_s} = 0$$

$$\frac{1}{2} = \frac{t}{T_s}$$

$$t = \frac{T_s}{2}$$

$$\therefore V_2\left(\frac{T_s}{2}\right) = A = A' + \Delta A$$

$$= A' + \frac{V}{\tau} \frac{T_s}{2} - \frac{V}{\tau} \frac{T_s}{4}$$

$$= A' + \frac{QV T_s - V T_s}{4 \tau}$$

$$= A' + \frac{V}{4 \tau} \frac{QR}{SR}$$

$$= A' + \frac{V^2}{2 \tau SR}$$

$$\Delta A = \frac{V^2}{2 \tau SR}$$

$$\begin{aligned}
 m) \quad T &= 2(T_f + T_s) \\
 &= 2 \left(2 \frac{R_1}{R_2} \tau + \frac{2V}{SR} \right) \\
 &= 4 \left(\frac{R_1 \tau SR + 2V R_2}{R_2 SR} \right)
 \end{aligned}$$

$$f = \frac{1}{T} = \frac{1}{4} \frac{R_2 SR}{R_1 \tau SR + 2V R_2}$$

$$A = A' + DA = \frac{R_1}{R_2} V + \frac{V^2}{2\tau SR}$$

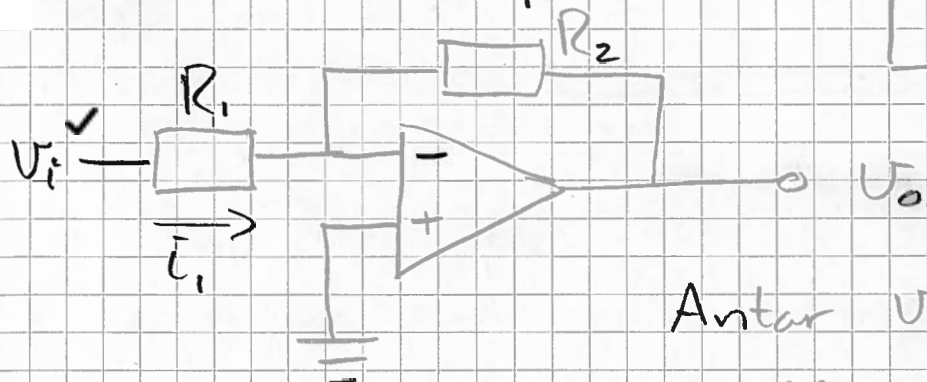
Signalet er ikke perfekt trekantet fordi komparatorutganger bruker tid på å gå fra $-V$ til V og i den perioden har V_2 en parabelformet "hump".

Vi ser at størrelsen på humperen er omvendt proporsjonal med τ og SR . Altso kan vi øke τ eller SR for å gjøre signalet mer trekantet. Å øke SR vil si å bette operasjonsforsterker til en som er kjappere. Å øke τ , altso øke tidskonstanten for RC-leddet i kretsen, vil medføre en lavere frekvens. Det kan vi se fra uttrykket for $T_f = 2 \frac{R_1}{R_2} \tau$.

4a

Inverterende forstørker

Texas Instr.
(μA741CP)



Antar $V_p = V_n = 0$ (jord;
og op-amp i A.O.)

$$\frac{V_i}{R_1} = - \frac{U_o}{R_2}$$

$$\Rightarrow \frac{U_o}{V_i} = - \frac{R_2}{R_1} = A$$

Skal ha $A = 10$, dvs $\frac{R_2}{R_1} = 10$

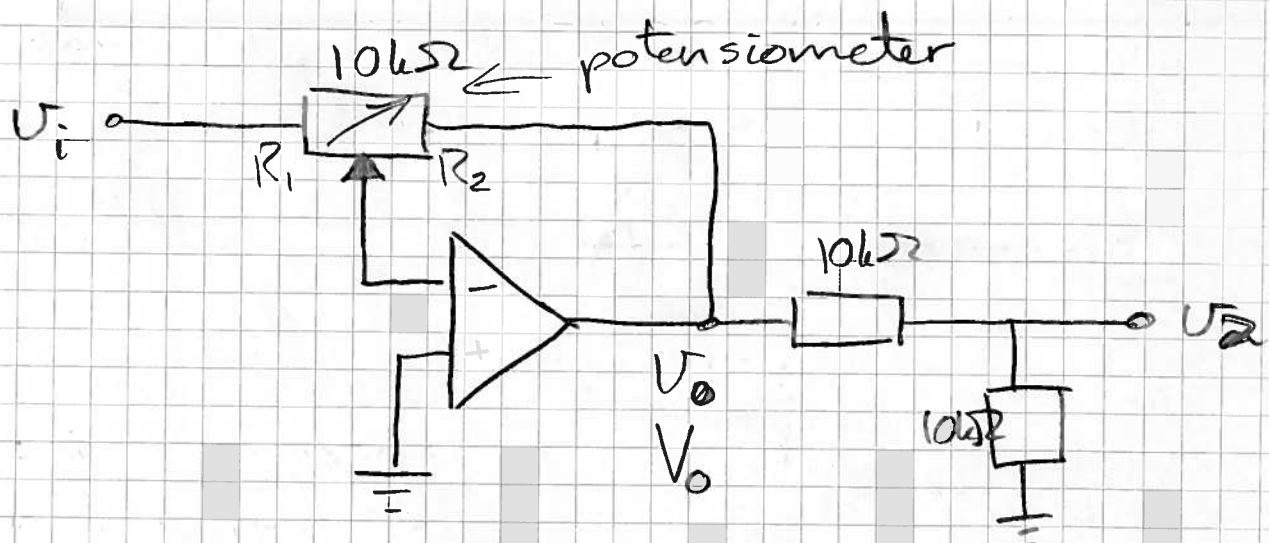
Velger derfor $R_2 = 10 \text{ k}\Omega$ og $R_1 = 1 \text{ k}\Omega$!

4b

Metning inntreffer ved en topp-topp-spenninng $V_{pp} = 21,296 \text{ V}$

Dvs for $V \approx \pm 10 \text{ V}$ på den differensielle inngangen.

15) Har nå en krets:



Med $V_i(t) = 50 \cos(2\pi \cdot 100 \text{ Hz} t) \text{ mV}$

Klarer å detektere ned til ca 4mV peak-peak på $V_2 = \frac{1}{2} \cdot V_{o,\text{p-p}}$.

Dvs $V_o = 4 \text{ mV}$, er amplituden ut fra op-ampen. Altå en demping fra 50mV på inngangen.

Andre veien klarer jeg å detektere opp til ca $V_2 = \frac{1}{2} V_{o,\text{p-p}} \approx 4, \cancel{0} \text{ V}$

Dvs $V_o = 4,0 \text{ V}$, er amplituden ut fra op-ampen.
 \swarrow (demping) \searrow (forsterking)

\Rightarrow Får $A_{\min} = 0,08$ og $A_{\max} = 80$
 som i logaritmisk skala tilsvarer
 fra -21,94 dB til 38,06 dB,

eller med A_{\min} som referanse;

$$20 \log \left(\frac{80}{0,08} \right) = 60 \text{ dB} \text{ arb. omr. !}$$

NB: Vi kan merke oss at $V_o = 4V$ er langt unna metning for op-ampen. Grunnen til begrensningen her, ligger derfor i neste oppgaves utforsking.

Liketil, så vi at vi hadde et relativt avv. område i dette tilfellet på

$$\frac{A_{\max}}{A_{\min}} = \frac{80}{0,08} = 1000.$$

Forsterkingen i op-ampen er nok likevel i alle fall en faktor 10 større enn dette.

Med $R_1 \approx 3,75\Omega$ og $R_2 \approx 9,53k\Omega$ (målte verdier), bryter kretsen ned i ulinear tilstand, mens den er stabil for

$$R_1 \approx 243\Omega \text{ og } R_2 \approx 9,5k\Omega$$

(svært følsomt pot.meter)